

ارائه روشی نوین به منظور تناظریابی ساختاری بر اساس عوارض خطی در تصاویر ماهواره‌ای با قدرت تفکیک بالا

سمیه یاوری^{۱*}، محمد جواد ولدان زوج^۲، محمود رضا صاحبی^۳، مهدی مختارزاده^۲

۱- دکتری سنجش از دور دانشگاه صنعتی خواجه نصیرالدین طوسی

۲- استاد دانشگاه صنعتی خواجه نصیرالدین طوسی

۳- دانشیار دانشگاه صنعتی خواجه نصیرالدین طوسی

تاریخ دریافت مقاله: ۱۳۹۴/۰۸/۰۱ تاریخ پذیرش مقاله: ۱۳۹۵/۰۳/۰۸

چکیده

با برتاب ماهواره‌های با حد تفکیک بالا در دهه‌های اخیر و عرضه این تصاویر به صورت تجاری، بحث استخراج اطلاعات مکانی دقیق سه‌بعدی از این تصاویر در بسیاری از زمینه‌های مرتبط همچون فتوگرامتری و سنجش از دور مورد توجه قرار گرفت. به منظور استخراج این اطلاعات از تصاویر ماهواره‌ای، باید قبل از هر اقدامی، این تصاویر زمین‌مرجع شوند. به منظور زمین‌مرجع‌سازی تصاویر ماهواره‌ای، ابتدا باید پک سری عوارض کنترلی مانند نقاط، خطوط و یا سطوح در دو فضای استخراج شوند. سپس عوارض متناظر از بین کل عوارض استخراج شده تعیین و به طور مستقیم برای حل تابع انتقال بین دو فضای استفاده شوند. در سال‌های اخیر تمايل محققان به سمت استفاده از عوارض کنترلی به ویژه خطوط به دلیل ویژگی‌های منحصر به فرد این عوارض همچون استخراج و تناظریابی اتوماتیک آسان‌تر این عوارض و نیز فراوانی این عوارض در تصاویر ماهواره‌ای به خصوص در مناطق شهری، قرار گرفته است. از آنجاییکه، به منظور انجام زمین‌مرجع‌سازی اتوماتیک نیازمند خودکارنمودن کل روند هستیم و نیز تناظریابی عوارض خطی بین دو فضای نامتجانس یکی از مهم‌ترین مراحل می‌باشد، در این مقاله، این روند بر اساس یک روش جدید با عنوان تناظریابی ساختاری بر اساس عوارض خطی که بدون نیاز به اطلاعات اولیه و تنها براساس اطلاعات قابل استخراج از تصویر و نقشه صورت می‌گیرد، انجام و مورد ارزیابی قرار می‌گیرد. در این روش، هدف یافتن تناظر تمام خطوط-متناظر ممکن با استفاده از یافتن دو الگوی متناظر ویژه می‌باشد. بر این اساس، مختصات ابتدا و انتهای خطوط استخراج شده به روند موردنظر معرفی و تناظریابی در سه فاز اصلی و با استفاده از روابط هندسی بین آنها تعیین می‌شود. در این مقاله، اثر تعداد حالت‌های مورد بررسی و نیز یکی از آستانه‌ها در دقت و قابلیت اطمینان نتایج بررسی می‌شود. نتایج روش پیشنهادی نشان می‌دهد که روش پیشنهادی می‌تواند بیش از ۸۰ درصد خطوط-متناظر را با ۱۰۰ درصد قابلیت اطمینان و با سرعت بالا، تعیین نماید.

کلید واژه‌ها : تصاویر ماهواره‌ای با حد تفکیک بالا، تناظریابی ساختاری بر اساس عوارض خطی، عوارض خطی، خطوط تولیدشده ریاضی، نقاط تولیدشده ریاضی، زمین‌مرجع‌سازی.

* نویسنده مکاتبه کننده: دانشگاه صنعتی خواجه نصیرالدین طوسی، دانشکده ریاضیاتیک و ژئودزی، دپارتمان فتوگرامتری و سنجش از دور

تلفن: ۰۲۱۸۴۰۶۴۰۰۰

۱- مقدمه

روند ثبت تصاویر شامل چهار مرحله کلیدی می‌باشد که عبارتند از: استخراج عوارض کنترلی، تناظریابی عوارض کنترلی، تخمین پارامترهای تابع انتقال مناسب، و در نهایت نمونه‌برداری مجدد. برای این منظور، ابتدا باید یک سری عوارض کنترلی در دو فضا استخراج شوند. سپس، عوارض متناظر از بین کل عوارض استخراج شده تعیین و به طور مستقیم برای حل تابع انتقال بین دو فضا مشخص شوند. کاربردهای بسیاری در سنجش‌از دور بر اساس ثبت تصاویر می‌باشد، که از آنجلمه می‌توان به تهیه و یا به روزرسانی نقشه‌های سه‌بعدی، تشخیص تغییرات، و مانیتورینگ محیط‌زیست اشاره نمود. در این زمینه، مقالات جامعی به منظور بررسی روش‌های ارائه شده، وجود دارند. [۱، ۲، ۳، ۴، ۵، ۶، ۷، ۸، ۹ و ۱۰]

همزمان با افزایش قابل توجه در حجم اطلاعات و انواع سنجنده‌های تصویربرداری، ثبت اتوماتیک تصویر به یک روند کاملاً ضروری و زیربنایی تبدیل شده است. از آنجایی که، مرحله استخراج عوارض در سال‌های اخیر به خوبی بررسی شده است و نیز مرحله تناظریابی به عنوان یکی از مهم‌ترین و چالش‌برانگیزترین مراحل می‌باشد، در این مقاله، این مرحله مورد بررسی قرار گرفته است. پیچیدگی فضای جستجو و معیارهای شباهت سبب می‌شود تا این روند از نظر محاسباتی دارای پیچیدگی‌های زیادی باشد. همچنین، زمان محاسبات نیز با توجه به حجم زیاد داده عامل چالش‌برانگیزی در خودکارکردن این روند می‌باشد.

برای انجام تناظریابی سه دسته از [۱۰، ۹ و ۱۱] عبارتند از:

- الف) روش‌های ناحیه مبنا^۱؛
- ب) روش‌های عارضه مبنا^۲؛

ب) روش‌های ساختاری.^۳

در روش‌های ناحیه‌مبنا که بر پایه شدت درجات خاکستری هستند، اطلاعات تصویری در فرم ماتریسی از مقادیر درجات خاکستری استفاده می‌شود. مهمترین روش‌های ارائه شده در این گروه روش همبستگی متقابل^۴ و تناظریابی کمترین مربعات^۵ می‌باشند. در نتیجه، این روش‌ها برای انجام ثبت تصویر به تصویر مناسب هستند [۱۲، ۱۱۳، ۱۱۴، ۱۵ و ۱۶].

روش‌های عارضه‌مبنا، خود بر اساس نوع عارضه مورد استفاده به سه دسته زیر تقسیم می‌شوند: ۱) تناظریابی بر اساس عوارض نقطه‌ای^۶ [۱۷، ۱۹، ۱۸ و ۲۰ و ۲۱]؛ ۲) تناظریابی بر اساس عوارض صفحه‌ای^۷ [۲۲، ۲۳ و ۲۴]؛ ۳) تناظریابی بر اساس عوارض خطی^۸ [۲۵، ۲۶، ۲۷، ۲۸، ۲۹، ۳۰ و ۳۱].

روش‌های ساختاری، از بسط روش‌های عارضه‌مبنا ایجاد می‌شوند. در این روش، عوارض به یک سری المان اولیه^۹ شکسته می‌شود و تناظریابی بین توصیف‌گرهای ساختاری این المان‌های اولیه در دو فضا صورت می‌گیرد. در این روش، علاوه بر عوارض از روابط توپولوژیک و هندسی بین آنها نیز استفاده می‌شود. در نتیجه، این روش‌ها نیازی به دانستن مقادیر تقریبی پارامترهای تابع انتقال بین دو فضای ندارند [۳۳، ۳۴]، و برای انجام تناظریابی بین دو فضای ۳۵ و ۳۶ و ۳۷^{۱۰} متفاوت تصویر و نقشه مناسب هستند. هرچند که علارغم مزایای این روش، در فتوگرامتری خیلی به ندرت استفاده شده است [۱۱]. به همین دلیل، روش پیشنهادی بر پایه این دسته از روش‌های تناظریابی می‌باشد.

عمده عوارض مورد استفاده برای حل معادلات ریاضی

^۳ Relational/Structural matching

^۴ Cross-correlation

^۵ Least square matching

^۶ Point feature-based matching

^۷ Areal/region feature-based matching

^۸ Linear feature-based matching

^۹ Primitives

^{۱۰} Area-based matching

^{۱۱} Feature-based matching

- نقطه‌ای آسان‌تر می‌باشد. این به دلیل ماهیت این عوارض می‌باشد که، عدم پیوستگی در تابع درجات خاکستری را در یک جهت نشان می‌دهند. به عبارت دیگر، عوارض نقطه‌ای نشان‌دهنده عدم پیوستگی در تمام جهات می‌باشند؛
- ۲- قابلیت‌اطمینان از عوارض استخراجی در مورد خطوط بیشتر از نقاط می‌باشد؛
 - ۳- عارض خطی در فضای تصویر را می‌توان با دقت زیر-پیکسل در جهت لبه استخراج نمود؛
 - ۴- عارض سطحی را نیز می‌توان با محدوده‌های آنها به صورت عوارض خطی نمایش داد. هرچندکه، استفاده از عوارض خطی در کاربردهای شناسایی تغییرات آسان‌تر از عوارض سطحی می‌باشند. ارجحیت عوارض خطی در این مورد به قابلیت این عوارض به شکسته شدن به زیرمجموعه‌های کوچک‌تر بر می‌گردد. به عبارت دیگر، شکستن عارض سطحی به زیرمجموعه‌های کوچک‌تر، کار آسانی نمی‌باشد؛
 - ۵- عارض خطی سبب افزایش اطلاعات کنترلی در سیستم و در نتیجه، ارتقا استحکام هندسی و قابلیت‌اطمینان در شناسایی خطاهای بزرگ می‌شود؛ به همین دلیل، ابهام در تناظریابی قابل حل، نواحی با مانع به آسانی قابل پیش‌بینی و تغییرات قابل شناسایی خواهد بود؛
 - ۶- علاوه بر موارد بالا، عوارض سطح بالا^۲ که به صورت اتوماتیک قابل استخراج هستند، حاوی اطلاعات معنایی بیشتری در فضای زمین می‌باشند، که در کاربردهایی مثل تولید مدل رقومی زمین، تهیه نقشه و یا شناسایی عوارض بسیار مناسب می‌باشد. به عبارت دیگر، استخراج اطلاعات معنایی مفید از عوارض نقطه‌ای در دنیای واقعی بسیار مشکل می‌باشد. علاوه بر این، قیود هندسی بسیار بیشتری در بین عوارض خطی نسبت به

به منظور برقراری ارتباط بین دو فضا (همچون فضای تصویر و زمین) نقاط هستند، زیرا مختصات آنها می‌تواند به طور مستقیم برای تعیین پارامترهای تابع انتقال استفاده شود. با دانستن مختصات تعدادی نقطه متناظر در دو فضا، می‌توان یک تابع انتقال را برای برقراری ارتباط بین فضای یک تصویر با تصویر دیگر و یا فضای زمین تعیین نمود. مقالات بسیاری در زمینه استفاده از عوارض نقطه‌ای برای روند ثبت ارائه شده‌اند [۴۱، ۴۰، ۳۹، ۴۲، ۴۳، ۴۴ و ۴۵]. با توجه به تحقیقات صورت گرفته می‌توان گفت که، استفاده عملی از عوارض نقطه‌ای به دلیل وجود معایب آنها مشکل و غیرقابل اطمینان می‌باشد. از جمله معایب این عوارض می‌توان به؛ (۱) سرعت پایین استخراج و تناظریابی دستی این عوارض؛ (۲) استخراج و تناظریابی اتوماتیک بسیار پیچیده‌این عوارض به ویژه در فضاهای نامتجانس (همچون فضای تصویر و زمین) به دلیل ویژگی‌های متفاوت این فضاها (همچون پس‌زمینه، بافت، مفهوم و نمایش متفاوت) به علاوه کمبود اطلاعات معنایی^۱ برای عوارض نقطه‌ای؛ و در نهایت (۳) حساسیت بالاتر عوارض نقطه‌ای به نویز نسبت به عوارض خطی، اشاره نمود.

در مورد عوارض ناحیه‌ای نیز، هرچندکه، می‌توان نقاط مستخرج از این عوارض همچون مرکز ثقل را به طور مستقیم برای تخمین پارامترهای تابع انتقال به کار برد، در بیشتر موارد، این نقاط خیلی دقیق نیستند. از طرف دیگر، استفاده از عوارض ناحیه‌ای به طور مستقیم در حل تابع انتقال سبب افزایش پیچیدگی در این معادلات می‌شود.

بر خلاف عوارض نقطه‌ای و ناحیه‌ای، عوارض خطی مزایایی دارند که آنها را برای روند زمین‌مرجع‌سازی بسیار مطلوب می‌نماید. از آنجمله می‌توان به موارد زیر اشاره نمود [۲۶ و ۴۰].

- ۱- استخراج اتوماتیک عوارض خطی نسبت به عوارض

² Higher-level features

¹ Semantic information

هندسی، دو روش عمده وجود دارد. در روش اول، از مدل‌های پارامتریک که هندسهٔ تصویر در لحظهٔ تصویربرداری را بازسازی می‌کنند، استفاده می‌شود. در صورت عدم در اختیار بودن مدل سنجنده، در روش دوم از معادلات ریاضی برای این منظور می‌توان استفاده نمود. ازانجاییکه، در روش دوم نیازی به دانستن مدل سنجنده و پارامترهای اولیه در مورد هندسهٔ تصویر نمی‌باشد، برای انجام زمین‌مرجع‌سازی اتوماتیک بسیار مناسب می‌باشد.

با توجه به توضیحات ارائه شده در بالا، یک روش تناظریابی ساختاری بر اساس عوارض خطی^۲ و یا به اختصار *SLIM* بر پایهٔ مدل‌های ریاضی غیرپارامتریک به منظور انجام تناظریابی اتوماتیک به تازگی توسط نویسنده‌گان این مقاله ارائه شده است [۴۶]. در این مقاله، مقادیر مختلف یکی از آستانه‌های کلیدی مورد استفاده و نیز اثر تعداد تکرار بر قابلیت اطمینان نتایج این روش مورد بررسی قرار می‌گیرد. به منظور درک بهتر روش پیشنهادی، خوانندگان به مقاله [۴۶] و نیز رساله [۵۹] برای توضیحات بیشتر ارجاع داده می‌شوند.

بر این اساس، پس از مقدمه، در بخش دوم، روش پیشنهادی *SLIM* به طور خلاصه توضیح داده می‌شود. سپس، در بخش سوم، تست‌های صورت گرفته و نیز ارزیابی نتایج ارائه خواهد شد. در نهایت، در بخش چهارم، نتیجه‌گیری عنوان می‌شود.

۲- تناظریابی اتوماتیک تصویر به نقشه بر اساس روش پیشنهادی *SLIM*

همان‌طور که پیشتر عنوان شد، از بین عوارض کنترلی، عوارض خطی با مزایایی همچون فراوانی بیشتر به ویژه در تصاویر شهری و مناطق صنعتی، دارا بودن اطلاعات معنایی سطح بالاتر، استخراج راحت‌تر نسبت به عوارض

نقطه‌ای وجود دارد، که این امر کاربردهای تناظریابی و شناسایی اتوماتیک عوارض را تسهیل می‌نماید؛

۷- عوارض خطی به راحتی قابل استخراج از نقشه‌های موجود، پایگاهداده‌های سیستم اطلاعات مکانی و یا سیستم‌های تهیه نقشه متحرک زمینی می‌باشند. به

طور کلی، می‌توان گفت که روند استخراج و تناظریابی این عوارض در هر دو فضای تصویر و زمین آسان‌تر و قابل اطمینان‌تر می‌باشد؛

۸- عوارض خطی همچون خیابان‌ها در مقایسهٔ دارای طول عمر و ماندگاری بیشتری هستند؛

۹- حساسیت عوارض خطی به نویز کمتر و در مقابل اطلاعات معنایی بیشتری دارند؛

۱۰- عوارض خطی در تصاویر ماهواره‌ای به ویژه در مناطق شهری به وفور وجود دارند، که این امر، استحکام هندسی را ارتقا و مشکلات ایجادشده به

دلیل اطلاعات زمینی کنترلی ناکافی را در تخمین پارامترهای تابع انتقال کاهش می‌دهد؛ و در نهایت،

۱۱- عوارض خطی را می‌توان به طور مستقیم به عنوان اطلاعات کنترلی در سرشکنی معادلات ریاضی استفاده نمود.

بر اساس مزایای مطرح شده در بالا، می‌توان گفت که عوارض خطی برای بسیاری از کاربردها در حوزهٔ فتوگرامتری و سنجش از دور مناسب می‌باشند [۴۷، ۴۸، ۴۹، ۵۰، ۵۱، ۵۲، ۵۳، ۵۴، ۵۵ و ۵۶]. به همین دلیل،

تمایل عمومی محققان به سمت استفاده از این عوارض و گذر از "فتوگرامتری نقطه‌ای" به "فتوگرامتری خطی" و "فتوگرامتری نقاط تعمیم‌یافته"^۱ می‌باشد [۵۷ و ۵۸].

پس از انتخاب عارضه کنترلی و نیز روش مناسب برای انجام تناظریابی، در مرحله بعد باید تابع انتقال مناسب برای برقراری ارتباط بین فضای تصویر و زمین انتخاب شود. به منظور تصحیح انواع مختلف خطاهای

² Structural LInear feature-based Matching method (SLIM)

¹ Generalized point photogrammetry

غیره، خطوط استخراج شده ممکن است به چندین پاره خط تقسیم شده باشند، این احتمال وجود دارد که چند خط در یک فضای با چندین خط در فضای دیگر متناظر باشد و برعکس. این بدان معنا است که لزوماً تناظر یک به یک برقرار نمی‌باشد و ممکن است تناظر از نوع n به n باشد.

بر اساس مدل پیشنهادی پس از استخراج عوارض خطی از دو فضای تصویر و زمین، وارد مرحله تناظریابی می‌شویم. به منظور مقابله با مشکلات مطرح شده، برای انجام تناظریابی اتوماتیک عوارض خطی از روش تناظریابی *SLIM* استفاده می‌شود [۴۶]. هدف از روش پیشنهادی، تعیین تناظر خطوط به صورت کاملاً اتوماتیک، با دقت و قابلیت اطمینان بالا و در کوتاهترین زمان ممکن از طریق یافتن دو پترن متناظر ویژه می‌باشد. در این تحقیق، این پترن‌ها از بین تمام ترکیبات سه‌تایی از خطوطی که تشکیل یک مثلث را می‌دهند، انتخاب می‌شود. این روش، در سه فاز اصلی انجام می‌گیرد. به‌همین دلیل، ابتداء مفاهیم پایه‌ای مورد استفاده و سپس سه فاز اصلی به‌طور خلاصه توضیح داده می‌شوند (برای توضیحات کامل لطفاً به مقاله [۴۶] مراجعه شود).

۱-۲- مراحل انجام روش پیشنهادی *SLIM* برای انجام تناظریابی

همانطور که قبلاً نیز ذکر شد، خطوط استخراج شده در دو فضای تصویر و زمین لزوماً دارای نقاط ابتداء و انتهای متناظر نمی‌باشند. دلیل این امر نیز، روش‌های استخراج متفاوت در دو فضای می‌باشد. علاوه بر این خطوط استخراج شده ممکن است به‌دلیل وجود مانع، نویز و یا حتی روش استخراج مورد استفاده به چندین پاره خط تقسیم شده باشند و یا حتی موقعیت‌اشان تغییر کرده باشد (شکل (۱)). بر اساس شکل (۱)، در هر فضای خطوط مقطع متناظری در فضای دیگر ندارند و به عنوان خطوط بدون متناظر در نظر گرفته می‌شوند. هرچندکه، خطوط پیوسته

نقطه‌ای، قابلیت استفاده از قیود هندسی به منظور ارتقا روند تناظریابی و نیز امکان نمایش عوارض خطی با استفاده از پاره خط‌ها به عنوان عوارض کنترلی مناسب در روند خودکار نمودن مطرح می‌باشند. به منظور انجام تناظریابی اتوماتیک و با قابلیت اطمینان بالا، باید یک سری نکات در مورد خطوط استخراج شده مدنظر قرار گیرد:

۱- از آنجایی که، فضای تصویر و نقشه کاملاً با هم متفاوت می‌باشد، خطوط استخراج شده دارای ابتداء و انتهای یکسان و متناظری نیستند. به عبارت دیگر، نقاط ابتداء و انتهای خطوط متناظر لزوماً متناظر نیستند و نمی‌توان از آنها مستقیماً به عنوان نقاط کنترل زمینی برای حل تابع انتقال استفاده نمود. این نکته به ویژه در خودکار نمودن روند تناظریابی بسیار حائز اهمیت است.

۲- از آنجایی که، تصویر و نقشه دارای زاویه دوران، ضریب مقیاس، مقادیر شیفت در جهت محورهای مختصات و ... متفاوت از هم هستند، خطوط استخراج شده در دو فضای نیز تابع این شرایط می‌باشند.

۳- تعداد خطوط در دو فضای می‌باشد یکسان نیست. به عبارت دیگر، از آنجاییکه عموماً نقشه منطقه وسیع تری را پوشش می‌دهد، تعداد خطوط استخراج شده از فضای زمین بسیار بیشتر از خطوط فضای تصویر می‌باشد. این ویژگی، سبب ورود مسئله‌ای با عنوان عوارض-بدون تناظر در روند تناظریابی می‌شود. در واقع این عوارض، خطوط بدون متناظر در هر یک از دو فضای می‌باشند که الگوریتم مورد استفاده برای تناظریابی باید قابلیت شناسایی و حذف آنها را حتی در مواردی که تعداد عوارض-متناظر بسیار کمتر از عوارض بدون تناظر است را داشته باشد.

۴- از آنجاییکه به دلیل روش‌های مختلف مورد استفاده برای استخراج خطوط در دو فضای زمین و تصویر، و نیز به دلیل وجود عواملی همچون مانع، نویز و

*MGL*ها نیز به عنوان نقاط کنترل زمینی برای حل پارامترهای تابع انتقال از فضای تصویر به زمین و برعکس استفاده نمود. این نقاط کلیدی می‌توانند در وسط و یا محل تقاطع *MGL*ها قرار داشته باشند. به این نقاط، نقاط-تولیدشده-ریاضی^۴ و یا به اختصار *MGP* اطلاق می‌گردد. ویژگی‌های مطرح شده در بالا، در مورد پاره خط‌های اصلی امکان‌پذیر نمی‌باشد.

روش *SIML* پیشنهادی، در سه فاز اصلی به صورت زیر انجام می‌گیرد:

فاز اول: پترن‌های با کیفیت بالا در فضای تصویر با استفاده از یک روش جدید وزن‌دهی با نام *HQPS* انتخاب پترن‌های با کیفیت^۵ و یا به اختصار *HQPS* انتخاب می‌شوند. پترن‌های انتخابی به عنوان مثلث‌های ورودی به صورت تکراری به فاز بعدی معرفی می‌شوند. بر این اساس، پس از محاسبه امتیاز کلی^۶ هر یک از مثلث‌ها، مثلث‌های ضعیف به منظور کاهش زمان محاسباتی در فاز تناظریابی حذف می‌شوند. به همین دلیل، تنها *R* مثلث با بالاترین امتیاز کلی برای تست تناظر در مرحله بعد انتخاب می‌شوند. برای این اساس، *R* با استفاده از رابطه تجربی

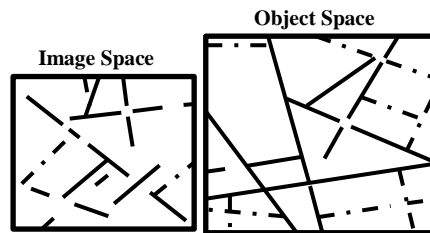
زیر تعیین می‌شود (رابطه (۱)):

$$R = \ln(\frac{l!}{(l-k)!k!}) \quad \text{رابطه (۱)}$$

در این رابطه، *k* سه (تعداد پاره خط‌های تشکیل‌دهنده هر مثلث)، و *l* تعداد خطوط با کیفیت بالا در فضای تصویر (خطوطی که دارای طول بیشتر از متوسط تمام طول‌ها هستند) درنظر گرفته شده است. در بخش بعدی، این رابطه و ضرائب آن مورد بررسی قرار می‌گیرد.

فاز دوم: برای هر مثلث-ورودی، تمام جفت‌های ممکن در فضای زمین تولید می‌شوند. سپس، ترکیبات نامناسب بر اساس چهار شرط هندسی^۷ مشخص و

در فضای دیگر دارای متناظر هستند.



شکل ۱: پاره خط‌های استخراج شده در فضای تصویر و زمین.

از این‌رو، می‌توان مستقیماً از نقاط ابتدا و انتهای خطوط برای حل پارامترهای تابع انتقال به عنوان نقاط کنترلی استفاده نمود. به همین دلیل، در این تحقیق مفاهیم جدیدی برای غلبه بر مشکلات مطرح شده ارائه شده است که با مدل‌های ریاضی که در حال حاضر در فتوگرامتری و سنجش از دور به کار می‌روند، هم خوانی دارد.

بر اساس این مفاهیم، به جای استفاده از پاره خط‌ها به‌طور مستقیم، می‌توان از خطوطی که به‌طور ریاضی از بسط و تقاطع این پاره خط‌ها ایجاد می‌شوند و به آنها خطوط-تولیدشده-ریاضی^۸ و یا به‌اختصار *MGL* اطلاق می‌گردد، استفاده نمود. این خطوط در واقع، اضلاع پترن‌های تولیدی (و یا مثلث‌های تولیدشده ریاضی^۹) می‌باشند (شکل (۲)). هر یک از این مثلث‌ها دارای سه رأس، سه ضلع و سه زاویه داخلی هستند. استفاده از *MGL*ها، سبب حل مشکلات مطرح شده در مورد متناظر نبودن نقاط ابتدا و انتهای خطوط می‌شود، زیرا خطوط ایجادشده در اثر بسط و تقاطع پاره خط‌های متناظر حتماً دارای نقاط ابتدا و انتهای متناظر خواهند بود. همچنین، می‌توان از روابط هندسی بین *MGL*ها همچون زاویه نسبی و نسبت طول‌های تولیدی^{۱۰} در روند تناظریابی استفاده نمود. علاوه بر این، می‌توان از نقاط کلیدی منتج از

⁴ Mathematically Generated Points (*MGPs*)

⁵ High-Quality-Pattern-Selection (*HQPS*)

⁶ Total-score

⁷ Geometric constraints

¹ Mathematically Generated Lines (*MGLs*)

² Mathematically-generated-triangles

³ Generated-length

در این معیار، دو آستانه d و D معرفی و استفاده می‌شوند که این محدوده قابل قبول بهدلیل وجود خطاهای مختلف همچون خطاهای محاسباتی، روش‌های متفاوت استخراج خط و نیز تکه‌تکه شدن خطوط^۵ تعریف می‌شود. در شکل (۲) (الف)، D ماکریم فاصله قابل قبول بین خط منتقل شده و کاندید-متناظرش می‌باشد. برای این منظور، می‌توان از فاصله اقلیدسی و یا فاصله Hausdorff استفاده نمود. همچنین، d ماکریم آستانه قابل قبول برای نقاط ابتدا و انتهای خطوط ($d_x = d_y$) و در محدوده $[0.1, 0.7] * T_3$ می‌باشد. آستانه‌های D ، d_x و d_y از انتخاب پاره‌خطهای هم‌راستایی که در محدوده قابل قبول نمی‌باشند، جلوگیری می‌نماید. هر دو آستانه D و d باید کوچکتر از آستانه پیش‌فرض T_3 انتخاب شوند. این آستانه، به طور مستقیم با دقت اسمی تصاویر^۶ در ارتباط می‌باشد. برای این منظور، در این مقاله، مقدار $T_3 = 0.3$ برای آستانه مورد نظر پیشنهاد می‌شود. هرچند که اثر مقادیر مختلف این آستانه، در بخش بعدی بررسی می‌شود.

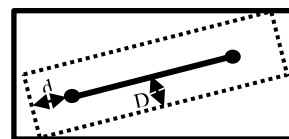
در این صورت، مثلثهای فضای تصویر و زمین متناظر هستند، اگر هر سه خط واقعی آنها بر اساس معیار بالا متناظر باشد.

فاز سوم: در فاز-نهایی، از بین تمام برنده‌های محلی فاز دوم، جفتی که بیشترین تعداد خطوط-متناظر را دارد به عنوان برنده-عمومی^۷ انتخاب می‌شود. این خطوط نیز به عنوان خطوط-متناظر اولیه برای یافتن تاظر سایر خطوط با استفاده از شروط تعریف شده استفاده می‌شوند.

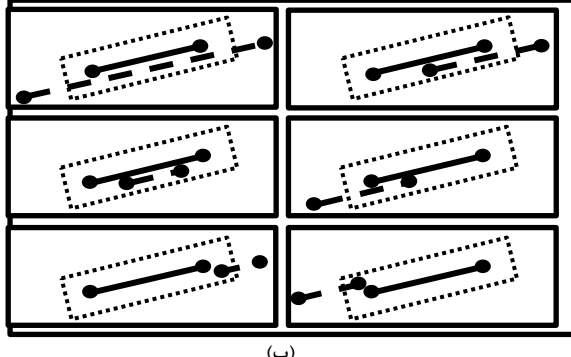
فلوچارت روش SLIM⁸ پیشنهادی در شکل (۳) نمایش داده شده است. همان‌طور که در این شکل نیز مشخص است، تنها اطلاعاتی که باید به الگوریتم

حذف می‌شوند. برای ترکیبات باقی‌مانده، تناظر سایر خطوط متقاطع^۱ نیز به طور همزمان با استفاده از شروط معرفی شده، تعیین می‌گردد. در هر تکرار، جفتی که بیشترین تعداد خطوط-متناظر^۲ را دارد به عنوان برنده- محلی^۳ تعیین می‌شود. این مرحله، فاز تناظریابی نامیده می‌شود.

یکی از معیارهای مورد استفاده در این فاز، ارزیابی درستی تابع انتقال^۴ می‌باشد. در این معیار، نقاط ابتدا و انتهای خطوط-واقعی را با استفاده از تابع انتقال حل شده به فضای تصویر منتقل می‌نماییم. یک جفت خط واقعی متناظر می‌باشند، درصورتی که پس از اعمال تابع انتقال، در یکی از شرایط نشان داده شده در شکل (۲) صدق نمایند.



(الف)



شکل ۲: (الف) در این شکل مستطیل‌های نقطه‌ای، محدوده قابل قبول ($D \& d \leq T_3$) هستند که در فضای تصویر تعریف می‌شوند، (ب) خطوط مقطع و نیز پیوسته به ترتیب خطوط منتقل شده از فضای زمین به فضای تصویر و خطوط متناظر آنها در فضای تصویر می‌باشند. علاوه بر این، دایره‌های سیاه رنگ نقاط ابتدا و انتهای منتقل شده و واقعی می‌باشند.

¹ Crossing-Lines

² Match-Lines

³ Local-Winner

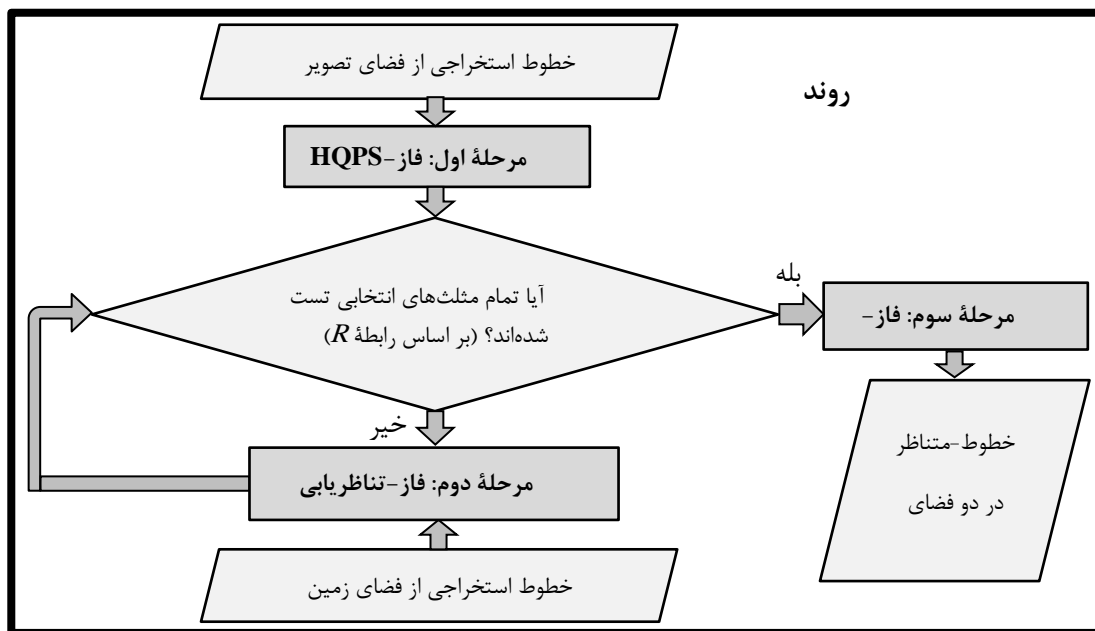
⁴ Transformation correctness

⁵ Fragmentation

⁶ Nominal Accuracy (NA)

⁷ Global-Winner

پیشنهادی معرفی شود خطوط استخراج شده در دو فضای مورد نظر (فضای تصویر و زمین می‌باشد).



شکل ۳: فلوچارت روش **SLIM** پیشنهادی

۲۷۶ خط در فضای زمین استخراج شده‌اند که از این تعداد ۴۷ خط منتظر در دو فضا وجود دارد. همچنین، نقشه ۱:۲۰۰۰ منطقه مورد نظر به عنوان داده برداری مورد استفاده قرار گرفته است. مجموعه داده مورد استفاده در شکل (۴) نشان داده شده است.

۲-۳- تست‌های تجربی و ارزیابی دقت

به منظور تست روش تناظریابی پیشنهادی، آستانه‌های مورد استفاده بر اساس مقاله [۴۶] انتخاب و در جدول (۱) ارائه شده است.

جدول ۱: مقادیر پیشنهادی برای آستانه‌های تعريف شده در مراحل مختلف

مقادیر انتخابی برای HQPS- تاثیر در فاز-				آستانه‌های مورد استفاده در روند-غربالگری		
p_4	p_3	p_2	p_1	T_3	T_2	T_1
۳	۲/۵	۱/۵	۲	۶ * NA	.۰/۱	۲ درجه

به منظور بررسی اثر مقادیر مختلف برای آستانه d تست‌های صورت گرفته در جدول (۲)

۳- نتایج تجربی و ارزیابی دقت

در این بخش، بر اساس داده مورد استفاده، روش پیشنهادی تست و ضرائب موثر برای تعیین شرط توقف مورد بررسی قرار می‌گیرد. همچنین از روش اجماع نمونه تصادفی^۱ و یا به اختصار *RANSAC* برای مقایسه نتایج روش پیشنهادی نیز استفاده می‌گردد.

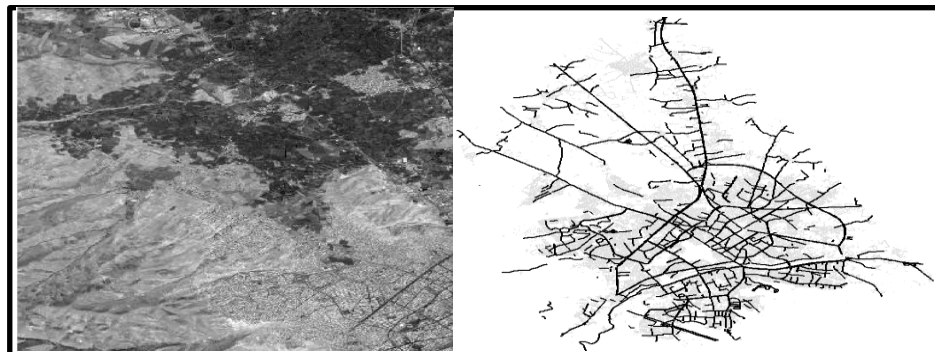
۱-۱- داده مورد استفاده

به منظور ارزیابی روش‌ها و مفاهیم پیشنهادی در قسمت‌های مختلف از یک تصویر ماهواره‌ای با حد تفکیک بالا استفاده شده است. تصویر مورد استفاده، تصویر *GeoEye-1* از شهر ارومیه در شمال غربی ایران با آزیموت اسکن ۲۶۹/۷۱ درجه، و ابعاد ۳۰۷۵۲ در ۱۹۲۰ و نیز ابعاد پیکسل ۰/۵ متر و دقت اسمی (دقیق) قابل دستیابی از تصویر که توسط کمپانی ارائه‌کننده تصویر مشخص می‌شود) ۵ متر می‌باشد. به منظور تست روش پیشنهادی، ۱۴۰ خط در فضای تصویر و

^۱ Random Sample Consensus (RANSAC)

یافتن خطوط متناظر و درصد قابلیت اطمینان تناظرها می‌باشد.

نمایش داده شده است. در این جداول، فاکتور-ظرفیت و اعتبارسنجی به ترتیب نشان‌دهنده قابلیت مدل در



شکل ۴: تصویر ماهواره‌ای به همراه نقشه ۱:۲۰۰۰ مورد استفاده از منطقه ارومیه

جدول ۲: تست مقادیر مختلف آستانه

زمان محاسباتی (دقیقه)	فاکتور-ظرفیت (درصد)	فاکتور-اعتبارسنجی (درصد)	تعداد خطوط- متناظر	شرط توقف
۰/۴۸	۹۱/۴	۹۷/۷	۴۴	$d = 0.7 * T_3$
۰/۴۱	۹۱/۴۸	۱۰۰	۴۳	$d = 0.3 * T_3$

محاسبه محدوده قابل قبول استفاده شود. از طرف دیگر، از آنجاییکه احتمال وجود خطوط-بدون تناظر می‌تواند شرط توقف را تحت تاثیر قرار دهد، در جدول (۳)، ضرائبی از این رابطه (R) تست شده است.

بر اساس این جدول، مشخص است که انتخاب مقادیر کوچکتر برای این آستانه، سبب افزایش قابلیت اطمینان (افزایش در فاکتور-اعتبارسنجی) می‌شود. در واقع، با انتخاب این آستانه، از انتخاب خطوط هم‌راستا به‌طور نادرست جلوگیری می‌شود. به‌همین دلیل، پیشنهاد می‌شود که از آستانه $d = 0.3 * T_3$ برای

جدول ۳: تست ضرائب مختلف شرط توقف بر اساس احتمال وجود خطوط-متناظر

زمان محاسباتی (دقیقه)	فاکتور-ظرفیت (درصد)	فاکتور-اعتبارسنجی (درصد)	تعداد خطوط- متناظر	تعداد تکرار	شرط توقف
۰/۱۶	۹۵/۷۴	۱۰۰	۴۵	۹	R
۰/۴۱	۹۱/۴۸	۱۰۰	۴۳	۱۸	$2 * R$
۰/۵۹	۹۷/۸۷	۱۰۰	۴۶	۴۵	$5 * R$
۰/۸۴	۹۷/۸۷	۱۰۰	۴۶	۸۹	$10 * R$
۱/۶۹	۹۷/۸۷	۱۰۰	۴۶	۱۷۸	$20 * R$

فاکتور ظرفیت می‌شود. هرچند که، این افزایش تاثیری در فاکتور اعتبارسنجی (قابلیت اطمینان به نتایج) ندارد

بر اساس نتایج به‌دست‌آمده از جدول (۳) مشاهده می‌شود که افزایش تعداد تکرار سبب افزایش

- این ضریب می‌توان عکس احتمال وجود خطوط متناظر باشد؛ ۲) توزیع خطوط. به این معنی که هر چه خطوط در زوایای متفاوت‌تری پراکنده باشد، تعداد تکرار کمتری برای رسیدن به جواب نیاز است و برعکس. در صورت درنظر گرفتن این عوامل، می‌توان با قابلیت اطمینان بالاتری به نتایج به دست آمده استناد نمود.

همچنین، به منظور بیان توانایی مدل *SLIM*، این روش با یکی از شناخته شده‌ترین روش‌های تناظریابی *RANSAC* مقایسه شده است. برای این منظور از روش *RANSAC* با ماکریم تعداد تکرار ۱۰۰۰۰۰۰ برای یافتن تناظر عوارض خطی استفاده شده است، که نتایج در جدول (۴) ارائه شده است.

و برای تمام حالات این فاکتور ۱۰۰ درصد می‌باشد. در نتیجه، از آنجاییکه روش پیشنهادی از نظر زمانی بهینه می‌باشد، به نظر می‌رسد استفاده از تکرارهای بیشتر در رسیدن به تعداد بیشتری از خطوط متناظر موثر می‌باشد.

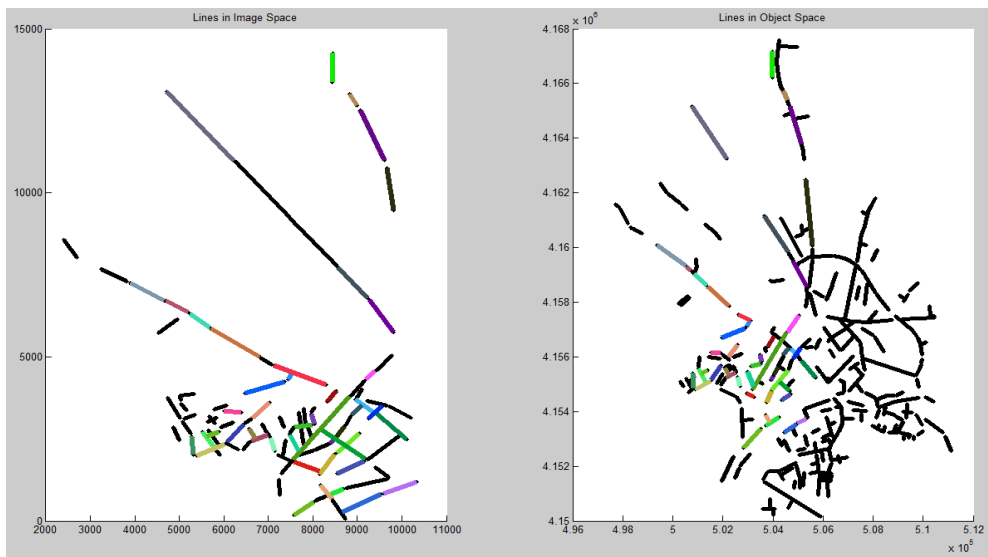
بهطور کلی، باید خاطر نشان کرد که چند عامل در انتخاب تعداد تکرار موثر هستند که از آنجمله می‌توان به این موارد اشاره نمود: ۱) احتمال وجود خطوط متناظر. این احتمال به طور مستقیم تعداد حالات مورد بررسی را تحت تاثیر قرار می‌دهد. به عبارت دیگر در صورتی که این احتمال پایین است (به ویژه برای مقادیر کمتر از ۵۰ درصد) بهتر است حتماً از ضرائب رابطه *R* استفاده شود.

جدول ۴: تست روش *RANSAC* به منظور تعیین تناظر عوارض خطی

روش مورد استفاده	تعداد خطوط متناظر	فاکتور-اعتبارسنجی (درصد)	فاکتور-ظرفیت (درصد)	زمان محاسباتی (دقیقه)
<i>RANSAC</i>	۴۸	۵۸/۵۵	۶۰/۷۴	۳۲/۵۰
<i>SLIM</i>	۴۶	۱۰۰	۹۷/۸۷	۰/۸۴

در نتیجه می‌توان گفت که، ترکیب تمام مراحل در روش پیشنهادی، سبب می‌شود تا الگوریتم *SLIM* نسبت به روش‌های کلاسیک (همچون *RANSAC*) قابل اطمینان‌تر، دقیق‌تر و نیز از لحاظ زمانی کارآمدتر باشد. به منظور نمایش بهتر روش پیشنهادی، علاوه بر نتایج عددی، خطوط-متناظر پیدا شده بر اساس روش *SLIM* در شکل (۵) نمایش داده شده است. در این شکل، خطوط همنگ در دو فضای تصویر و زمین، خطوط متناظر پیدا شده با استفاده از روش پیشنهادی *SLIM* می‌باشد.

همانطور که از نتایج بدست آمده در جدول (۴) مشخص است، روش *RANSAC* تعداد کمتری از خطوط-متناظر (فاکتور-ظرفیت ۶۱ درصد) را پیدا نموده است. همچنین، قابلیت اطمینان به نتایج این روش نیز به مرتب پایین‌تر از روش پیشنهادی است (فاکتور-اعتبارسنجی ۵۹ درصد). این نتایج نشان دهنده قابلیت مدل پیشنهادی *SLIM* در تعیین ماکریم تعداد خطوط-متناظر (بالای ۸۰ درصد خطوط-متناظر) با ۱۰۰ درصد قابلیت اطمینان و نیز در کمترین زمان ممکن (در کمتر از ۲ دقیقه) می‌باشد.

شکل ۵: نمایش خطوط-منتاظر در دو فضای تصویر و زمین با استفاده از روش پیشنهادی **SLIM**

می‌توان به این موارد اشاره نمود:

- احتمال وجود خطوط منتاظر. در صورتی که این احتمال پایین است (به ویژه برای مقادیر کمتر از ۵۰ درصد) بهتر است حتماً از ضرائب رابطه R استفاده شود. این ضریب می‌تواند عکس احتمال وجود خطوط-منتاظر باشد؛^۲ توزیع خطوط. به این معنی که هر چه خطوط در زوایای متفاوت‌تری پراکنده باشد، تعداد تکرار کمتری برای رسیدن به جواب نیاز است و بر عکس. در صورت درنظر گرفتن این عوامل، می‌توان با قابلیت اطمینان بالاتری به نتایج به دست آمده استناد نمود. علاوه بر این، بر اساس نتایج مشخص است که انتخاب مقادیر کوچکتر برای آستانه d سبب افزایش تعداد خطوط-منتاظر (افزایش فاکتور ظرفیت) و در مواردی افزایش قابلیت اطمینان (فاکتور اعتبارسنجی) به طور معناداری می‌شود.
- در واقع، با در نظر گرفتن این آستانه، از انتخاب پاره‌خطهای هم‌راستایی که در محدوده قابل قبول نمی‌باشند، جلوگیری می‌شود. بر اساس نتایج، روش **SLIM** پیشنهادی می‌تواند سبب ارتقای پتانسیل تنبیه‌یابی از لحظه اتوماتیک بودن، دقت، قابلیت اطمینان و کاهش زمان و نیز کاهش پیچیدگی محاسباتی شود.

۴- نتیجه‌گیری

بر اساس نتایج به دست آمده، می‌توان گفت که روش **SLIM** یک روش جستجوی هدایت شده (یا دانش مبنا) است و نه یک روش جستجوی تصادفی یا نابینا. به عبارت دیگر، از آنجاییکه روش **SLIM** یک استراتژی چندلایه دانش-مبنا است، قابلیت اطمینان خطوط-منتاظر آن (فاکتور اعتبارسنجی) در بیشتر حالات ۱۰۰ درصد است. علاوه بر این، تقریباً تمام خطوط منتاظر ممکن (فاکتور ظرفیت بیش از ۸۰ درصد) را می‌توان از روش **SLIM** در زمان محاسباتی بسیار پایین پیدا نمود. در نتیجه، همانطور که از نتایج مشخص است، روش پیشنهادی **SLIM** یک روش بسیار قابل اطمینان، دقیق و به ویژه از نظر زمان محاسباتی عملی و کارآمد می‌باشد. از مزایای این روش عدم نیاز به مقادیر تقریبی و اطلاعات اولیه به دلیل استفاده از ماکریزم اطلاعات قابل دستیابی از عوارض استخراجی و نیز عدم نیاز به اپراتور انسانی، سادگی اجرای الگوریتم و در نهایت دقت و قابلیت اطمینان بسیار بالا به همراه زمان محاسباتی پایین (در کمتر از ۲ دقیقه)، می‌باشد. همچنین، بر اساس نتایج بدست آمده مشخص می‌شود که چند عامل در انتخاب تعداد تکرار (تعداد مثلثهای ورودی به فاز تنبیه‌یابی) موثر هستند که از آن جمله

تقدیر و تشکر:

نویسندهای این مقاله از سازمان نقشه‌برداری کشور

مراجع

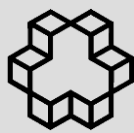
برای در اختیار قرار دادن نقشه‌های ۱:۲۰۰۰
شهر ارومیه تشکر می‌نمایند.

- [1] Bartoli, G., 2007. Image Registration Techniques: A Comprehensive Survey, Visual Information Processing and Protection Group, June 2007.
- [2] Bisht, S.S., Gupta, B., and Rahi, P., 2014. Image Registration Concept and Techniques: A Review, International Journal of Engineering Research and Applications, 4 (4): 30-35.
- [3] Brown, L.G., 1992. A Survey of Image Registration Techniques, ACM Computing Surveys (CSUR), 24 (4), USA.
- [4] Chaudhari, T.V. and Mahajan, P. M., 2014. Image Registration Methods- An Overview, International Journal Of Scientific Research And Education, 2 (12): 2608-2620.
- [5] Deshmukh, M., and Bhosle, U., 2011. A Survey of Image Registration, International Journal of Image Processing (IJIP), 5 (3): 245-269.
- [6] Mishra, R. K., and Zhang, Y., 2012. A Review of Optical Imagery and Airborne LiDAR Data Registration Methods, The Open Remote Sensing Journal, 5: 54-63.
- [7] Saxena, S., and Singh, R.K., 2014. A Survey of Recent and Classical Image Registration Methods, International Journal of Signal Processing, Image Processing and Pattern Recognition, 7 (4): 167-176.
- [8] Wyawahare, M.V., Patil, P.M., and Abhyankar, H.K., 2009. Image Registration Techniques: An overview, International Journal of Signal Processing, Image Processing and Pattern Recognition, 2 (3).
- [9] Zitova, B., and Flusser, J., 2003. Image Registration Methods: A Survey, Image and Vision Computing, 21: 977-1000.
- [10] Goshtasby, A.A., 2005. 2-D and 3-D Image Registration for Medical, Remote Sensing, and Industrial Applications, Wiley.
- [11] Gruen, A., 2012. Development and Status of Image Matching in Photogrammetry”, The Photogrammetric Record, 27 (137): 36-57.
- [12] Dutta, A., Kar, A., and Chatterji, B.N., 2011. A New Approach to Corner Matching from Image Sequence Using Fuzzy Similarity Index, Pattern Recognition Letters, 32: 712-720.
- [13] Georgescu, B. and Meer, P., 2004. Point Matching Under Large Image Deformations And Illumination Changes, IEEE Transactions on Pattern Analysis and Machine Intelligence, 26 (6): 674-688.
- [14] Liao, M., Lin, H. and Zhang, Z., 2004. Automatic Registration of InSAR Data Based On Least-Square Matching And Multi-Step Strategy, Photogrammetric Engineering & Remote Sensing, 70 (10): 1139-1144.
- [15] Zhang, Ch., and Fraser, C.S., 2007. Automated Registration of High-Resolution Satellite Images, The Photogrammetric Record, 22 (117): 75-87.
- [16] Zhang, Z., Zhang, J., Liao, M. and Zhang, L., 2000. Automatic Registration of Multi-Source Imagery Based on Global Image Matching, Photogrammetric Engineering & Remote Sensing, 66 (5): 625-629.
- [17] Han, Y. K., Byun, Y. G., Choi, J. W., Han, D. Y., and Kim, Y. I., 2012. Automatic Registration of High-Resolution Images Using Local Properties of Features, Photogrammetric Engineering & Remote Sensing, 78 (3): 211-221.
- [18] Hu, H., Zhu, Q., Du, Z., Zhang, Y., and Ding, Y., 2015. Reliable Spatial Relationship Constrained Feature Point Matching of Oblique Aerial Images, Photogrammetric Engineering & Remote Sensing, 81 (1): 49-58, DOI: 10.14358/PERS.81.1.49.

- [19] Kang, Z., Jia, F., and Zhang, L., 2014. A Robust Image Matching Method based on Optimized BaySAC, Photogrammetric Engineering & Remote Sensing, 80 (11): 1041–1052, DOI: 10.14358/PERS.80.11.1041.
- [20] Lowe, D. G., 2004. Distinctive Image Features from Scale-Invariant Key Points, International Journal of Computer Vision, 60 (2): 91 -110.
- [21] Sedaghat, A., Mokhtarzade, M., and Ebadi, H., 2011. Uniform Robust Scale-Invariant Feature Matching for Optical Remote Sensing Images, IEEE Transactions on Geoscience and Remote Sensing, 49: 4516-4527.
- [22] Goncalves, H., 2011. Automatic Image Registration through Image Segmentation and SIFT, IEEE Transactions on Geoscience and Remote Sensing, 49 (7): 2589 – 2600.
- [23][23] Jaw, J., and Wu, Y., 2006. Control Patches for Automatic Single Photo Orientation, Photogrammetric Engineering & Remote Sensing, 72 (2): 151-157.
- [24] Long, T., and Jiao, W., 2012. The Geometric Correction Model Based on Areal Features for Multisource Images Rectification, International Achieve of Photogrammetry, Remote Sensing and Spatial Information Sciences, XXXIX-B1, 245–249.
- [25] Chen, M., and Shao, Z., 2013. Robust Affine-Invariant Line Matching for High Resolution Remote Sensing Images, Photogrammetric Engineering & Remote Sensing, 79 (8): 753–760.
- [26] Habib, A., Morgan, M., Kim, E. M., and Cheng, R., 2004. Linear Features in Photogrammetric Activities, XXth ISPRS Congress, Istanbul, Turkey, Automated Geo-Spatial Data Production and Updating, pp.610, 12-23 July.
- [27] Heuvel, F., 2003. Automation in Architectural Photogrammetry, PhD thesis. Publications on Geodesy 54, NCG, Netherlands Geodetic Commission, Delft, pp. 90.
- [28] Karjalainen, M., Hyypä, J., and Kuittinen, R., 2006. Determination of Exterior Orientation Using Linear Features From Vector Maps, The Photogrammetric Record, 21 (116): 329-341.
- [29] Ok, A.O., Wegner, J.D., Heipke, Ch. Rottensteiner, F., Soergel, U., and Toprak, V., 2012. Matching of Straight Line Segments from Aerial Stereo Images of Urban Areas, ISPRS Journal of Photogrammetry and Remote Sensing, 74: 133–152.
- [30] Tommaselli, A.M.G., and Medeiros, N.G., 2010. Determination of the Indirect Orientation of Orbital Pushbroom Images using Control Straight Lines, The Photogrammetric Record, 25 (130): 159–179.
- [31] Wang, C., Stefanidis, A., Croitoru, A., and Agouris, P., 2008. Map Registration of Image Sequences Using Linear Features, Photogrammetric Engineering & Remote Sensing, 74 (1): 25–38.
- [32] Wang, L., Neumann, U., You, S., 2009. Wide-Baseline Image Matching using Line Signatures, Proceedings of the IEEE International Conference on Computer Vision, pp. 1311–1318.
- [33] Shapiro, L.G., and Haralick, R.M., 1985. A Metric for Comparing Relational Descriptions, IEEE Transactions on Pattern Analysis and Machine Intelligence, vol. PAMI-7, no. 1.
- [34] Shapiro, L.G., and Haralick, R.M., 1987. Relational Matching, APPLIED OPTICS, 26 (10), 15 May 1987.
- [35] Vosselman, G., 1992. Relational Matching, Institute of Photogrammetry, University of Stuttgart.
- [36] Wang, Y., 1998. Principles and Applications of Structural Image Matching, ISPRS Journal of Photogrammetry and Remote Sensing, 53: 154-165.

- [37] Wilson, R.C., Cross, A.D.J., and Hancock, E.R., 1998. Structural Matching with Active Triangulations, *Computer Vision and Image Understanding*, 72 (1): 21–38.
- [38] Elaksher, A.F., and Alharthy, A.A., 2008. Matching Conjugate Points Between Multi Resolution Satellite Images using Geometric and Radiometric Properties, *ISPRS*, vol. XXXVII, part B3b.,
- [39] Galo, M., and Tozzi, C. L., 2004. Feature-Point Based Matching: A Sequential Approach Based on Relaxation Labeling and Relative Orientation, *Journal of WSCG*, 12 (1-3), ISSN 1213-6972, WSCG'2004, February 2-6.
- [40] Lee, S.R., 2010. A Coarse-to-Fine Approach for Remote-Sensing Image Registration Based on a Local Method, *International Journal on Smart sensing and Intelligent Systems*, 3 (4).
- [41] Li, Ch., and Shi, W., 2014. The Generalized-Line-Based Iterative Transformation Model for Imagery Registration and Rectification, *IEEE Geoscience and Remote Sensing Letters*, 11 (8): 1394-1398.
- [42] Liu, Z., An, J., and Jing, Y., 2012. A Simple and Robust Feature Point Matching Algorithm Based on Restricted Spatial Order Constraints for Aerial Image Registration, *IEEE Transactions on Geoscience and Remote Sensing*, 50 (2): 514-527.
- [43] Meshoul, S., and Batouche, M., 2002. A Fully Automatic Method for Feature-Based Image Registration, *IEEE International Conference on Systems, Man and Cybernetics*, vol. 4.
- [44] Wu, Y., Ma, W., Gong, M., Su, L., and Jiao, L., 2015. A Novel Point-Matching Algorithm Based on Fast Sample Consensus for Image Registration, *IEEE Geoscience and Remote Sensing Letters*, 12 (1).
- [45] Yan, F., Wang, W., Liu, Sh., and Chen, W., 2013. A Hierarchical Image Matching Method for Stereo Satellite Imagery, *International Archives of the Photogrammetry, Remote Sensing and Spatial Information Sciences*, Volume XL-7/W1, 3rd ISPRS IWIDF, Antu, Jilin Province, PR China, 20 – 22 August 2013.
- [46] Yavari, S., Valadan Zoej, M.J., Sahebi, M.R., and Mokhtarzade, M., 2016. A Novel Automatic Structural Linear Feature-based Matching Method based on New Concepts of Mathematically-Generated-Points and Lines, *Photogrammetric Engineering and Remote Sensing (PE&RS)*, 82 (5): 17-28.
- [47] Al-Durgham, K., and Habib, A., 2014. Association-Matrix-Based Sample Consensus Approach for Automated Registration of Terrestrial Laser Scans Using Linear Features, *Photogrammetric Engineering & Remote Sensing*, 80 (11): 1029–1039.
- [48] Cao, Sh., Jiang, J., Zhang, G., and Yuan, Y., 2013. An Edge-Based Scale- and Affine-Invariant Algorithm for Remote Sensing Image Registration, *International Journal of Remote Sensing*, 34 (7): 2301-2326.
- [49] Marsetic, A., Oštir, K., and Kosmatin Fras, M., 2015. Automatic Ortho Rectification of High-Resolution Optical Satellite Images Using Vector Roads, *IEEE Transactions on Geoscience and Remote Sensing*, 53 (11): 6035-6047.
- [50] Mikhail, E. M., and Weerawong, K., 1997. Exploitation of Linear Features in Surveying and Photogrammetry, *Journal of Surveying Engineering*, 123: 32-47.
- [51] Medioni, G. and Nevatia, R., 1985. Segment-Based Stereo Matching, *Computer Vision, Graphics and Image Processing*, 31 (1): 2-18.
- [52] Ou, J., Qiao, G., Bao, F., Wang, W., Di, K., and Li, R., 2013. A NEW METHOD FOR AUTOMATIC LARGE SCALE MAP UPDATING USING MOBILE MAPPING IMAGERY, *The Photogrammetric Record*, 28 (143): 240–260.

- [53] Park, J., and Yoon, K.J., 2015. Real-Time Line Matching from Stereo Images Using A Nonparametric Transform of Spatial Relations And Texture Information”, Optical Engineering, 54 (2).
- [54] Tommaselli, A.M.G., and Medeiros, N.G., 2010. Determination of the Indirect Orientation of Orbital Pushbroom Images using Control Straight Lines, The Photogrammetric Record, 25 (130): 159–179.
- [55] Tommaselli, A. and Lugnani, J., 1988. An Alternative Mathematical Model to Collinearity Equations Using Straight Features, International Archives of Photogrammetry and Remote sensing, 27 (B3): 765-774.
- [56] Zhang J., Zhang H. and, Zhang Z., 2004. Exterior Orientation for Remote Sensing Image with High Resolution by Linear Feature, ISPRS Congress Istanbul, Proceedings of Commission III.
- [57] Schenk, T., 2003. Progress in Automatic Aerial Triangulation, Photogrammetric Week, <http://www.ifp.uni-stuttgart.de/publications/phwo03/schenk.pdf>.
- [58] Zhang, Z., and Zhang, J., 2004. Generalized Point Photogrammetry and Its Application”, Proceedings of The International Archives of the Photogrammetry, Remote Sensing and Spatial Information Sciences, 12–23 July, Istanbul, Turkey, 35 (B/5): 77–81.
- [59] Yavasr, S., 2016, “Automatic Georeferencing of High Resolution Satellite Images Using 3D Non-Parametric Mathematical Model”, P.h.D Thesis, K.N.T University of Technology.



A New Structural Matching Method Based on Linear Features for High Resolution Satellite Images

Somayeh Yavari *¹, Mohammad Javad Valadan Zanj², Mahmood Reza Sahebi³, Mehdi Mokhtarzade³

1- Ph.D. in Remote Sensing, Department of Photogrammetry and Remote sensing, Faculty of Geodesy and Geomatics, K. N. Toosi University of Technology

2- Full professor, Department of Photogrammetry and Remote sensing, Faculty of Geodesy and Geomatics, K. N. Toosi University of Technology

3- Associate professor, Department of Photogrammetry and Remote sensing, Faculty of Geodesy and Geomatics, K. N. Toosi University of Technology

Abstract

Along with commercial accessibility of high resolution satellite images in recent decades, the issue of extracting accurate 3D spatial information in many fields became the centre of attention and applications related to photogrammetry and remote sensing has increased. To extract such information, the images should be geo-referenced. The procedure of georeferencing is done in four main steps of extracting some control information such as point, line or areal features, matching, transformation function estimation and finally resampling. Among different control features, the lines are more considered due to their unique characteristics such as easier procedure of automatically extracting and matching as well as abundance of linear features in satellite images especially in urban areas. To reach an automatic georeferencing procedure, it is inevitable to automate the matching step as one of the most challenging process especially in heterogenous spaces such as image and map spaces. So, in this paper, the automatic matching procedure is performed and assessed using a new structural linear feature-based matching method with no need to any initial information. This method is based on using the most inherent conceivable information of the extracted features. The purpose of this paper is to find all possible match-lines through finding the correspondence of two specific patterns. The proposed method is done in three main phases of high quality pattern selection, matching as well as the final-phase. Additionally, new concepts of mathematically-generated-lines which are produced by extension and intersection of line-segments in two spaces as well as mathematically-generated-points which are the key-points of that lines are introduced and used to find the match-lines. In this paper, the impact of different numbers of stopping-criteria as well as one of the thresholds is studied experimentally. The results show the high potential of the proposed method to find more than 80 percentages of match-lines with 100 percentages of accuracy and reliability in a low computational time.

Key words: High Resolution satellite Images, Structural Linear feature-based Matching method, mathematically-Generated-Lines, mathematically-Generated-Points, Linear Features, Georeferencing.

Correspondence Address : Photogrammetry and Remote Sensing Eng. Department, Geodesy and Geomatics Faculty, K. N. Toosi University of Technology, 322 west Mirdamad, Ave. 19696, P.O. Box: 15875-4416, Tehran, Iran.
Tel : +98 21 84064000
Email: Yavari-se@yahoo.com